

ICOT Technical Report: TR-202

TR-202

大規模知識ベースマシンにおける
单一化エンジンの評価

小 黒 雅 己 (NTT)

September, 1986

© 1986, ICOT

ICOT

Mita Kokusai Bldg. 21F
4-28 Mita 1-Chome
Minato-ku Tokyo 108 Japan

(03) 456-3191~5
Telex ICOT J32964

Institute for New Generation Computer Technology

大規模知識ベースマシンにおける
单一化エンジンの評価

ICOT研修報告

(財)新世代コンピュータ技術開発機構

小黒 雅己

NTT電気通信研究所 情報通信処理研究所

期間：昭和61年5月12日～8月8日

目次

1. はじめに	• • •	2
2. 単一化エンジンの構成方式	• • •	2
3. 単一化エンジンの性能	• • •	3
3. 1 U E の処理概要	• • •	3
3. 2 ソート処理	• • •	4
3. 3 ペア生成処理	• • •	4
3. 3. 1 入出力関係	• • •	5
3. 3. 2 ペア生成部の出力と処理クロック	• • •	5
3. 3. 3 候補削減能力	• • •	5
3. 3. 4 オーダリングによる候補削減能力の違い	• • •	6
3. 4 単一化処理	• • •	6
3. 4. 1 バイブライン処理	• • •	6
3. 4. 2 単一化処理部と入力部	• • •	6
4. 単一化処理部の考察	• • •	6
4. 1 原理	• • •	6
4. 2 実験結果	• • •	7
5. 実際例による性能評価	• • •	8
5. 1 ソート処理	• • •	8
5. 2 ペア生成処理	• • •	9
5. 3 単一化処理	• • •	9
6. むわりに	• • •	9
謝辞	• • •	10
参考文献	• • •	10
図表		
付録		

1. はじめに

本報告書は、筆者が上記期間中に I C O T 第3研究室で行った研修内容に関するものである。

第3研究室では、関係データベースマシンを拡張した関係型知識ベースマシンの開発を行っている〔伊藤86a〕〔伊藤86b〕。本マシンは、知識を変数を含み論理的構造体である項で表現することを仮定し、関係の属性値を定数だけでなく、項の集合に拡張し、項集合を2次記憶に格納する。このため、2次記憶に格納された項の検索の高速化が必要となる。項の検索に対しては、従来の関係演算に单一化の概念を加えたRBU演算(Retrieval By Unification)〔横田85〕を用いる。さらに、RBU演算を高速に実行する専用プロセッサを複数用いて、検索の高速化を図る。この専用プロセッサを单一化エンジンと呼ぶ。

本稿は、第2章で、单一化エンジンの構成方式を述べ、第3章で、ソフトウェア・シミュレータにより、網羅的データを用いてエンジンの基礎的な性能について述べる。また、第4章では、評価結果を基に、処理高速化の方法を提案し、その性能を評価する。最後に、現在想定されている例を用いて、单一化エンジンの性能を確認する。

2. 単一化エンジンの構成方式

单一化エンジン(UE:Unification Engine)の構成を図2.1に示す。エンジンの入力は、項のストリング表現、出力は、单一化結合に成功した入力属性タブルのストリング表現である。UEは、ソータ(SU:Sort Unit)、ペア生成部(PGU:Pair Generation Unit)、及び单一化処理部(UNU:Unification Unit)に分類される。これら各部、及び各構成要素の機能について以下に述べる。

タブル記憶部：入力したタブルの格納場所

前処理部：図2.2に示すように、知識ベースkb1とkb2の間で、ジョイン対象属性をB、Cとして行う单一化結合では、タブルのB属性値、C属性値のみをソータへ送り、出力属性値A、Dをタブル記憶部へ送る。

ソートセル：2way-merge-sort法を用い、項をオーダリングにより、ジェネラリティ順に並べ替える。この場合、入力される項は可変長の文字列で表現される。また、TRIE化により、ソートセルの流量を減らす〔森田86〕。

ペア生成部：オーダリングにより整列された2つの項の記号列を受け取り、いずれかの項の変数の前までの2項の記号列の一一致性をチェックする。一致した項組を单一化成功の可能性のあるペアとして、单一化処理部へ送る。一方、ペアに対応する入力属性タブル(図2.2)の、タブル記憶部上の格納場所、出力生成部へ送る。

出力生成部：タブル記憶部を参照して、单一化結合の結果として出力する入力属性タブルの並びを生成する。

单一化セル：記号列の食い違いを検出し、ペアの1つの変数に対する置換を求め、置

換えセルへ送る。1つの食い違いの検出を、单一化セル1つで行い、残りの処理は、次段セル以降で行うバイブラインである。

置換セル : 単一化セルで求まったひとつの変数に対する置換を、ペアに対応する入力属性タブルに適用する。置換が求まればすぐに適用が行えるため、この单一化処理方式を置換随時適用方式 (SAM : Substitution Apply Method) と呼ぶ。

後処理部 : データを標準出力形式に変換する。

全体で見ると、これら各部がバイブラインを行っている。

以上の構成をC言語を用いて作成されたプログラムを使用してシミュレートし、各セル間のデータの流れる時間を測定することにより单一化エンジンの性能を評価する。なお、本評価では、1回のデータに対する操作 (read/write) に要する時間を1クロックとする。

3. 単一化エンジンの性能

基礎的なエンジン性能を評価するために、偏りのない網羅的な項集合を用いて、RBL演算の中で最も処理が重い单一化結合演算時の性能を評価する。但し、今回は、簡単のために、入力属性タブルとジョイン属性を同一にして測定を行っていく。

3.1 UEの処理概要

はじめに、UEの処理を決める要因となると考えられる入力量とUE処理クロックの関係を見る。図3.1は、入力量／処理クロック関係、及び入力量／出力量関係を示す。図3.1では、入力量／処理クロック関係は、単調増加にならない。さらに、入出力の関係にも同様のことが言える。しかし、入力量に対する出力量の変化と処理クロックの変化には、類似した傾向がみられる。このため、UEの処理は、入力量よりもむしろ出力量と関係が密であると予想される。さて、UEの出力とは、ジョイン属性値の单一化成功組の入力属性タブルである。このため、出力量は、入力量だけでなく、人力に含まれる单一化成功組の量にもよる。さらに、单一化成功組量は、以下のようないくつかの条件の元で入力量を変化させることにより、入力量と関係を持って変化する。

(1) 木構造を一定にし、図3.2に示す各ノードに現われる関数子の種類数を変える。

- ①根ノードの関数子のみの種類数変化(PARA1)
- ②中間ノードの関数子のみの種類数変化(PARA2)
- ③葉ノードの関数子のみの種類数変化(PARA3)

(2) 木構造を代える。

根、葉からなる木構造において、根ノードの関数子がとる引数の数を変化(PARA4)
(これは、リストに相当)

本評価では、この4つのパラメータ別に測定を行う。図3.3は、PARA1～PARA3における入力量／処理クロック関係を示す。上記PARA1～PARA4は、UE処理を決める一要因であることが分かる。

次に、各部の処理の全体処理への影響を見る。单一化エンジンの主な処理ブロックは、SU、PGU、UNUであり、全体でパイプラインを行う。このため、処理負荷が一番多い部分が全体の処理を決めると考えられる。図3、4に、各パラメータ毎の各部の処理クロックとエンジンの処理クロックの関係を示す。図3、4より、すべての場合で、エンジンの処理クロックが、UNUの処理クロックにほぼ一致していることが分かる。これは、SUでの項の整列やペアの生成に要する処理は、UNUでの单一化の処理より軽いからである。一方、UNUの処理を決める要因である入力量は、PGUの出力量である。PGUの出力量は、PGUの单一化失敗項目の削減機能（以降、候補削減能力と呼ぶ）で定まる。

以上より、エンジン性能は、PGUの候補削減能力と UNU の单一化処理能力に左右される。以下、各部の性能を評価する。

3.2 ソート処理

図3、4から明らかなように、ソート処理は、パラメータによらず、入力量にのみ影響を受ける。このため、前述PARA1～PARA4のパラメータは無視して、ソータの評価を行う。図3、4で、入力量と処理クロックが完全に比例関係にならないのは、Tribe化の効果である。Tribe化の効果が大きいほど、セルに流れる量は少なくなり、処理が軽くなる。繊羅的なデータでは、一般的に、閾数子の種類の数が増えると、Tribe化の効果が大きくなる。図3、5に、Tribe化の効果例を示す。Tribe化を行うと、ソートセルの後段に行くに従い処理が軽くなっている。2way-merge-sortでは、後段に行くに従い、メモリの容量が増える（ 2^n タブル分 n : 段数）ため、Tribe化を行わないと、図3、5に示すように、項目をメモリにセットするまでの時間がかかる。

次に、入力時の項の整列状況と処理時間の関係を見る。このため、次の3つの入力データを考えた。

- (1) あらかじめ完全にソートされたデータ
- (2) ある程度ソートが成されているデータ
- (3) まったくランダムなデータ

結果を表3、1に示す。ランダムなデータであっても整列したデータであっても処理クロックに大きな差は生じない。これは、2way-merge-sortのソーティングディレイがN（N：ソータ段数）クロックであるためである。このため、データの整列によらない安定したソート処理が可能である。

以上より、ソート処理は、可変長であっても、O(n)（nは入力量）で処理を行うことが可能であり、Tribe化による処理の高速化を実証した。

3.3 ペア生成処理

図3、4では、ペア生成部の処理は、パラメータPARA1～PARA4により傾向が異なっているため、別々に評価を行う。

3.3.1 入出力関係

PARA1～PARA4 で、入力項数に対する出力項数の変化を図3.6 及び図3.7 に示す。根ノード関数子種類数の変化に対するペア生成では、入出力項関係は比例関係となる。これは、根ノードに現われる関数子の数は1個であり、しかも項の系列化により一番先頭にあらわれるため、変数の前までの記号列の一致性を検査するペア生成のアルゴリズムは、効率的であり、单一化失敗項組を多く落とすことができるからである。一方、中間・葉ノードの違いに対するペア生成では、入出力関係は比例しない。図3.8 に示す位置に変数(X)が発生すると、相手項の点線枠内のチェックは行わず、すべてペアと判定する。一方、中間・葉ノードの関数子の種類数が増加すると、点線枠内が異なる項の数が増加する。この増加率は関数子の種類数と比例関係にならない。しかも、点線枠内はチェックを行わず、すべて出力するからである。また、図3.7 に示す木構造変化時の入力に対する出力の処理量は、入力項数を n とすれば、 $O(n^2)$ となる。これは、中間・葉ノードの場合と同様の理由によるが、この場合上記点線枠内で異なる項が2乗のオーダで増加する。このため、根ノードの関数子が引数を多くとると、出力量は $O(n^2)$ で増加していくこととなる。

3.3.2 ペア生成部の出力と処理クロック

網羅的データを使用した例では、ペア生成部の出力量は、入力量より大きくなる。このため、ペア生成部の出力量の処理への影響を考える。図3.9 に、ペア生成部処理クロック／出力量関係を示す。図3.9 から明らかのように、処理クロックは、出力量と比例関係にある。従って、出力量が入力量より十分大きければ、出力処理がペア生成部の処理時間となりペア生成の処理は出力処理に隠れる。これは、ペアを生成する処理は断続的であり一度に複数組を生成する。このため、一度に複数生成されたペアを流す間に次のペアの集合を生成してしまうからである。3.3.1 と合わせて、ペア生成部の処理は、最悪 $O(n^2)$ を必要とすることが明らかである。一方、3.1 に示したように、单一化処理は、ペアの生成より処理時間がかかる。このため、单一化処理部の処理が、エンジンの性能が低下する最大の原因となっている。

3.3.3 候補削減能力

PGUの性能として、明らかにすべき候補削減能力について評価する。表3.2 にPGU出力項組数／单一化項組数特性を示す。また、表3.3 には、エンジン入力に含まれる单一化失敗項組を、PGUでふるい落とした割り合を示す（削減率）。本構造が複雑になるか、または本構造が簡単であっても関数子の種類数が多く存在する程、单一化成功項組数に対して、PGUの出力項組数が多くなる。一方、削減率を見ると、この条件は、明らかであり、このような場合に、PGUの候補削減能力が低下し、エンジン全体の性能が低下する。

3.3.4 オーダリングによる候補削減能力の違い

項のオーダリングには、left-most 方式とouter-most 方式がある（図3.10）〔森田86〕。表3.2は、left-most 方式の場合の候補削減能力であり、表3.4にouter-most 方式の候補削減能力を示す。これは、PGU出力項組数／单一化項組数を本構造一定の場合について示した。

表3.2と表3.4を比較すると、中間ノードの変数に対しては、outer-most 方式の候補削減能力が優れ、葉ノードの変数に対しては、left-most 方式の候補削減能力が優れている。これらは、次の理由による。PGUは、記号列で表した項間の最初の変数までの一致性をチェックする。項の変数は、葉ノードにしか現われない。このため、変数より上位のノードにある関数子の、種類数が多い場合には、outer-most 方式、変数より左のノードにある関数子の、種類数が多い場合にはleft-most 方式に有利であるからである。よって、中間・葉ノードにくる関数子の種類数が同じであれば、両方式は違いがない。

3.4 単一化処理部

3.4.1 パイプライン処理

UNUの各エレメントの処理は、パイプラインを行っている。このパイプラインの効果を、UNION-FINDメモリを用いて、1組の項の单一化の高速化を行った〔安浦84〕と処理クロックを比較して、表3.5に示す。一組の項の单一化では、本方式は処理が遅くなるが、複数組の項の单一化には、パイプラインが効果的である。

3.4.2 単一化処理部と入力量

单一化処理部の置換えセルへの入力量と処理クロックの関係を図3.11に示す。図より、処理クロックは、置換えセルへの入力量にはほぼ比例することが分かる。これは、单一化セルに流れる量（ジョイン属性量）より置換えセルを流れる量（入力属性タブル量）が多く、单一化セルの処理量は無視できるほど小さくなるからである。一方、置換えセルの入力量は、PGUの候補削減能力で決まるため、PGUの候補削減能力が、前述のように低下すると処理に時間を要することになる。PGUの候補削減能力が低下するとは、UNU入力中に、单一化失敗項組が多く含まれている事である。このため、PGU候補削減能力低下に対して单一化処理部を高速に実行するために、以下の手法が有る。

- ①单一化処理を高速に実行できる新アルゴリズムの提案
- ②失敗組に対する单一化処理の省力化
- ③入力属性タブルへの変数に対する適用の高速化

今回は、②による高速化の検討を行った。单一化処理の高速化の考察を次章で述べる。

4. 単一化処理部の考察

4.1 原理

置換隨時適用方式 (SAM) は、以下のような特徴を持つ (図4. 1)。

- ①单一化セルには、单一化結合対象属性が流れ、変数に対する置換を随時求める。各セルでは、項間に食い違いが検出されるまで、記号列を検査し、検出すれば、まだ検査されていない部分のみを、次段以降に送るため、各セルの入力量は、後段に行くほど減少する。
- ②置換えセルには、入力属性タブルが流れ、変数に対する置換の適用が单一化セルで求まるとき適用を受ける。後段に行くほど、置換の適用を多く受けた入力属性タブルが流れることで、各セルの入力量は増加する。

SAMの問題点として、以下があげられる。

入力属性タブルへの置換の適用は、隨時行われるため、 m 段目 ($m < n$) でペアの单一化失敗が判明したときに、 $m-1$ 段目までに求まつた置換の適用は既に行われており、置換えセルに無駄な量が流れていることになる。3章で述べたように、单一化処理は、置換えセルに流れると同時に、無駄な量が存在することは問題である。

この問題を除去するために、図4. 2に示すmgu適用方式 (MAM : Most-general-unifier Apply Method)についての考察を行う。MAMには、以下の特徴がある。

- (1) 単一化セルは、SAMと同様の機能を持つ。
- (2) mguセルでは、单一化セルで求まつた変数に対する置換を集合にして流す。このとき、流れてきた置換集合の中に、置換を適用すべき変数が含まれている場合は、置換の適用を行う。例えば、流れてきた置換集合が $\theta = \{ f(a)/X, Z/Y \}$ であるとき、单一化セルで $\{ a/Z \}$ なる置換が求まれば、Zに対する置換の適用を受けて、 $\theta' = \{ f(a)/X, a/Y, a/Z \}$ が出力される。mguセルの最終段出力は、ペアに対するmgu (最汎化作用素) である。
- (3) 置換えセルでは、ペアの单一化が終わってから、单一化成功 (mguが求まつた) ペアに対してのみ、mguの適用を行う。置換えセルには、单一化成功ペアに対する入力属性タブルしか流れないと、置換えセルの処理量に無駄な量は含まれない。

MAMは、以上のように、入力に单一化失敗ペアが多く存在する場合には、非常に、効率的であるが、以下の問題が考えられる。

- ・(2) により、mguを流れる量は、後段にいくほど増加するため、mguセルの入力量の影響を受け、遅くなる。
- ・(3) により、置換えセルをバイオブレインで行えなくなった影響

次節でSAMとMAMの比較をシミュレータにより行う。

4. 2 実験結果

SAM、MAMの比較を次の条件の元で行う。

- ①入力されるペアの種類、数を一定にする。
- ②入力ペアに含まれる单一化失敗項の数を変化させる。このときの処理クロック/出力量の関係を測定する。

測定結果を図4.3に示す。点線は、SAMで、单一化失敗項組が無い場合の処理クロック／出力量関係である。図4.3より以下が観察される。

I. 失敗項がなければ、処理クロックは、出力量による。

II. 交点Pの出力データ長以上では、2方式の処理クロックは、ほぼ一致する。

III. 失敗項組が多いとき、両方式とも、出力データ長によらず、処理クロックが一定になります。しかも、MAMのそれは、SAMのそれより小さい。

これらより、次のことが考えられる。

Iは、单一化失敗項組が無いため、出力量は入力量（入力属性タブル長）に比例する。
入力量による処理クロックは、出力量による。

IIは、失敗組が少ないと、UNUの出力量（ L_0 ）が、他のどのセルを流れる量よりも多くなり、処理時間が L_0 で決まるからである。また、失敗組が多いとき、SAFでは、 L_0 よりも、最終段の置換セルの入力量、MAFでは、 L_0 よりも、最終段のmguセルから出るmguの量の方が多くなり、処理時間がそれぞれの量で決まる。IIIは、これらの量が、UNUの入力（ L_1 ）一定の時、ほぼ一定の量になるためである。

さらに、一般的に置換セルに流れる入力属性タブルの量は、mguセルを流れる置換集合の量よりも大きい。

以上より、置換集合の量が入力属性タブルの量より小さいことを前提にすると、UNU入力に失敗項が多く含まれる場合は、UNUの処理は、置換随時適用方式よりもmgu適用方式が優れる。最後に、3.1で述べた図について、单一化処理方式をMAMに代えた場合の单一化処理部、及びエンジン全体の処理クロックの違いを図4.4に示す。UNU入力中に单一化失敗項組を含む率は、30～60%程度であるため、MAMを用いたほうが処理が速くなる。

5. 実際例による性能評価

前章まででは、单一化エンジンの一般的性能を導いた。この一般的性能が実際の知識ベースで扱う項集合の検索を行ったときの性能の違いがみられる点を明らかにする。本稿では、実際の項の例として、DCKR [田中85] で表現された知識の例を用いる。DCKRは、RBU演算により、知識検索処理が可能であることは [村上86] で示された。今回用いたDCKRの例は、属性を2つ持つタブル数81の項集合であり、その一部を付録に示す。

5.1 ソート処理

DCKRでは、TRIE化による処理量の減少率が、約50%であり、繊羅的データの場合とほぼ等しい。実際の知識検索処理におけるソート処理では、TRIE化による処理量削減が、処理高速化の有効な手法であることが得られた。

5.2 ベア生成処理

PGUの候補削減能力について評価する。候補削減能力については、PGU出力項目数／单一化項目数特性と削減率の2つの評価法があった。実際例では、エンジンに入力された項目集合中に、单一化可能項目が含まれる割り合いが、繊羅的データに比べて小さい（表5.1）。このため、PGU出力項目数／单一化項目数特性は正当な評価となり得ない。以上より、ここでは、削減率（PGUにより落とした单一化失敗項目／UE入力内の单一化失敗項目）の評価を行う。DCKRにおける削減率は、測定データの最悪値が約99.1%であり、削減率は、繊羅的データの場合に比べて良い。

5.3 単一化処理

ここでは、前述の方式による違いを評価する。5.2で、DCKRの例では、削減率は高いが、PGU出力項目中に含まれる单一化失敗項目の数が多い。このため、4章の検討から、单一化処理方式としてmgu適用方式（MAM）が、優れていることが予想される。单一化処理の性能が全体の性能を左右したため、今回は、方式による違いを单一化処理部単独でなく、検索処理に於ける性能の違いで評価する。この結果、処理クロック（検索時間）は、MAMでは、10149クロック、SAMでは、10155クロックとなり、方式による違いが顕著にみられなかった。これは、次のような理由による。

・单一化失敗項目数が单一化成功項目数に対して多くても、单一化成功項目数が少ないため、ペア生成部の出力数は入力数より少ない。従って、繊羅的データの場合と異なり、ペア生成処理が出力処理に隠れない。このため、図5.1のように、あるペアが出力されると、つぎのペアが出力されるまでの時間Tsが大きくなり、Ts時間内に单一化処理が終わり、2つの方式の違いが見られない。

以上より、DCKRの例では、ペア生成部のペア生成処理の時間が問題となることが分かる。

6. おわりに

单一化エンジン性能は、UNUの性能で決まる。PGUでは、項目構造が複雑になると候補削減機能が低下し、单一化失敗項目が多く残るため、UNUに、置換隨時適用方式を採用すると性能が低下し、エンジン全体の性能低下につながる。このため、UNUに、mgu適用方式を採用することで、单一化失敗項目が多く含まれるデータに対するPGUの候補削減能力低下を補償できた。一方実験例の性能評価で、以下のことが明らかになった。

- (1) ソータでのTRIE化表現は効果的である。
- (2) PGUの候補削減能力が優れており、PGUの出力項目数は少なくなる。
- (3) (2)により、单一化処理よりもペア生成処理のほうがネックとなるため、PGUのペア生成処理の高速化が必要である。

今後の課題には、PGUの処理方式の改良、UNUの処理方式として、スイッチングネ

ットワーク〔森田86〕の評価を行い、シミュレーション解析を反映して、単一化エンジンの詳細設計を行う。

この研修では、専用プロセッサの構成方式について、評価を通しての研究手法について学んだ。しかし、上記以外にも、研究の上で必要な知識ベース、ユニフィケーション、論理型言語、学習等の現状についても知る機会にも恵まれ、研修は非常に有益なものであった。

謝辞

研修期間中終始御指導頂いた伊藤英則第3研究室長および森田幸伯研究員に深謝致します。また、評価データをまとめるに当り御協力頂いた日科技研の白瀬勝次氏、高橋正寿氏に感謝します。さらに、熱心に議論して頂いた第3研究室の諸氏、及びVLKB会議メンバに感謝致します。なお本レポートはICOTでの3か月間の報告であり、このような貴重な機会を与えて下さいましたICOTならびにNTTの関係者の皆様に感謝致します。さらに、研修期間中いろいろとお世話して下さいましたICOTの皆様に感謝致します。

参考文献

- 〔森田86〕 Morita,Y., et al, "Retrieval-BY-Unification on a Relational Knowledge Base Model", Proc. 12th Int. Conf. on VLDB, pp.52-59, August, 1986
- 〔横田86〕 Yokota,H., et al, "A Model and Architecture for a Relational Knowledge Base", 13th Int. Sym. on Computer Architecture, pp.2-9, June, 1986
- 〔伊藤86a〕 Itoh,H., "Research and development on knowledge base systems at ICOT", 12th Int. Conf. on VLDB, pp. 437-445, August, 1986
- 〔伊藤86b〕 伊藤他「大規模知識ベースマシン実験機の開発（1）」
第33回情報処理学会全国大会(1986) 3B-1
- 〔柴山86〕 柴山他、「大規模知識ベースマシン実験機の開発（2）」
第33回情報処理学会全国大会(1986) 3B-2
- 〔酒井86〕 酒井他、「大規模知識ベースマシン実験機の開発（3）」
第33回情報処理学会全国大会(1986) 3B-3
- 〔小黒86〕 小黒他、「大規模知識ベースマシン実験機の開発（4）」
第33回情報処理学会全国大会(1986) 3B-4
- 〔安浦86〕 安浦他、「論理型言語の单一化操作のためのハードウェアアルゴリズム」
EC84-67
- 〔田中85〕 田中他, 「Definite Clause Knowledge Representation」,
The Logic Programming Conference 85, 1985
- 〔村上86〕 村上他, 「单一化検索言語による知識ベースソフトウェアの記述」
第32回情報処理学会全国大会(1986) 1H-9

図表

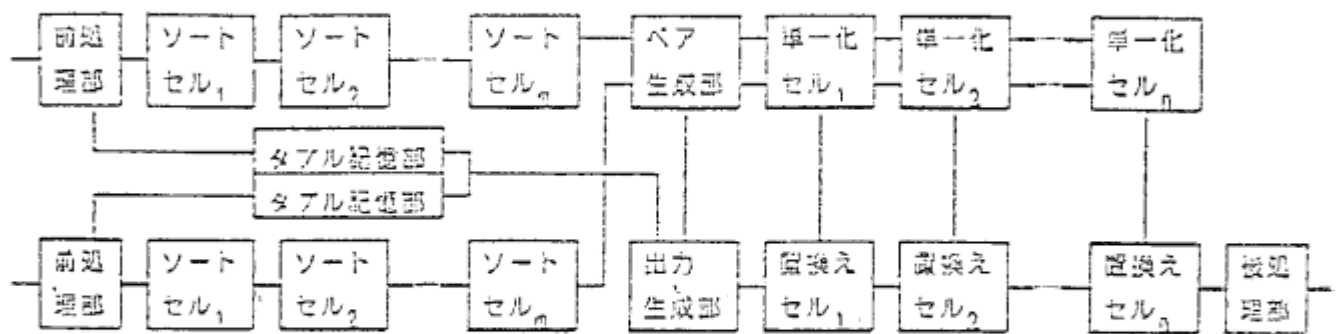


図2.1 単一化エンジンの構成

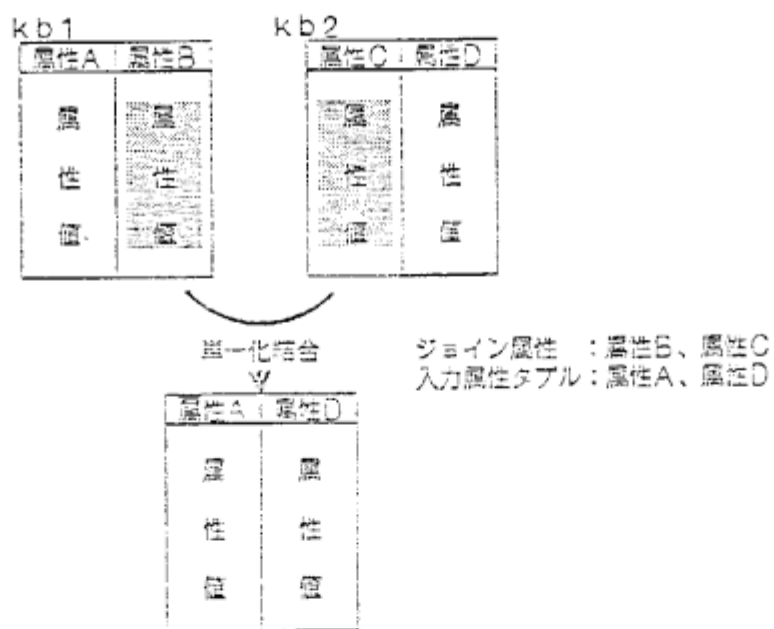


図2.2 単一化結果

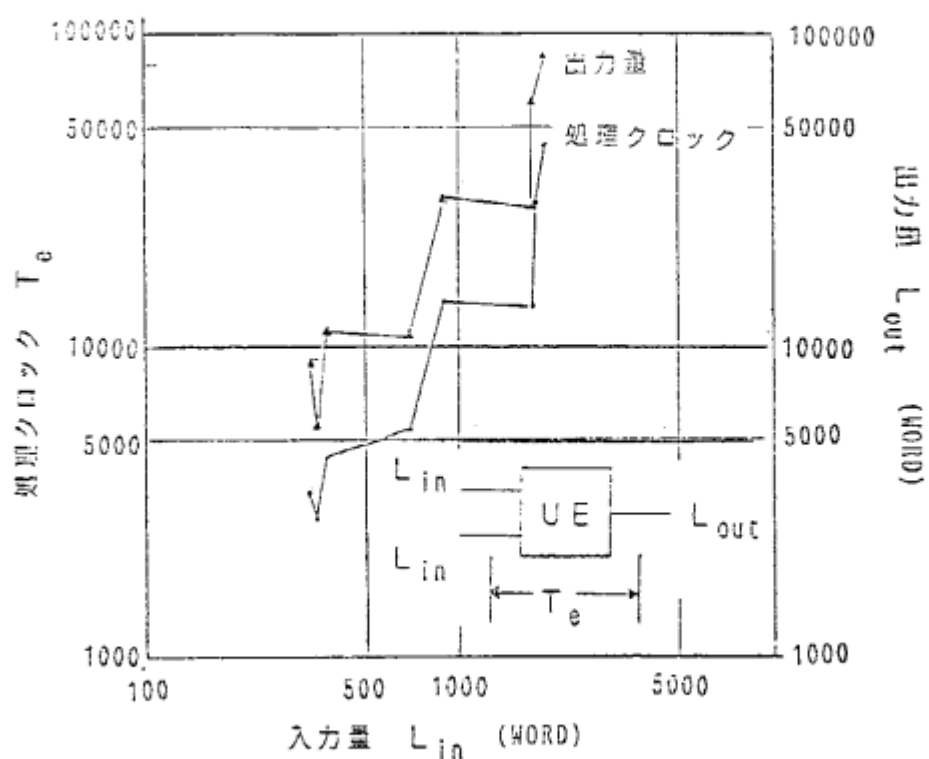


図3.1 入力量と処理クロック、出力量

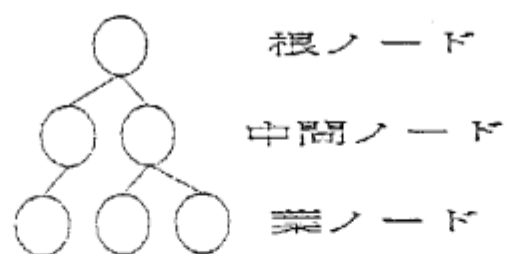


図3.2 頃の木構造

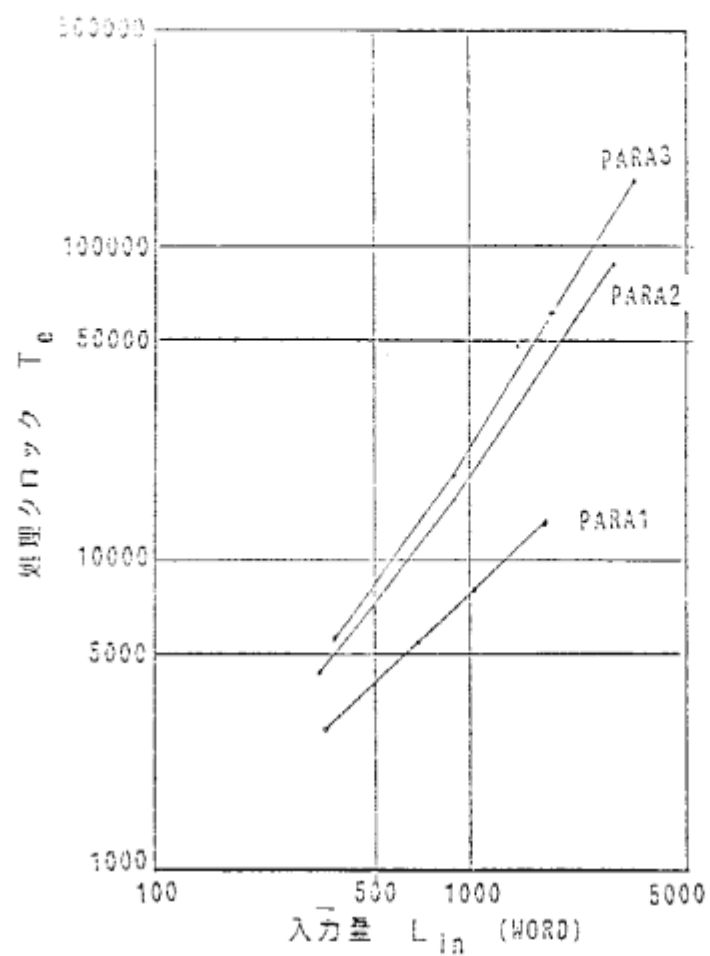
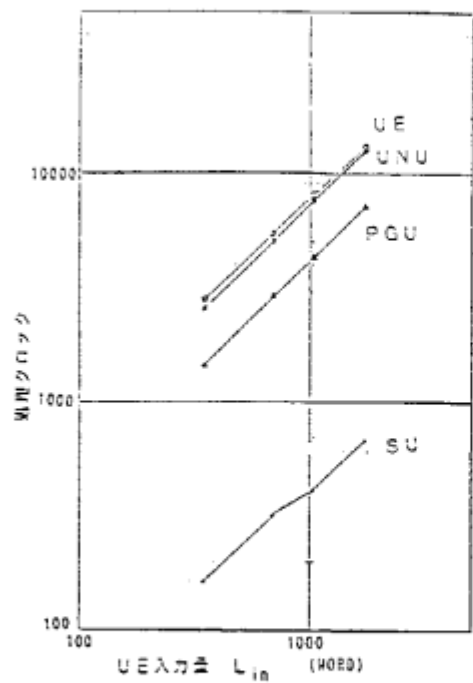
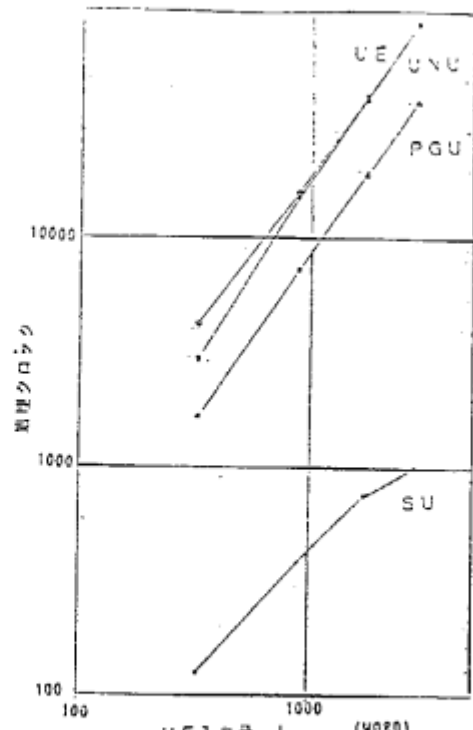


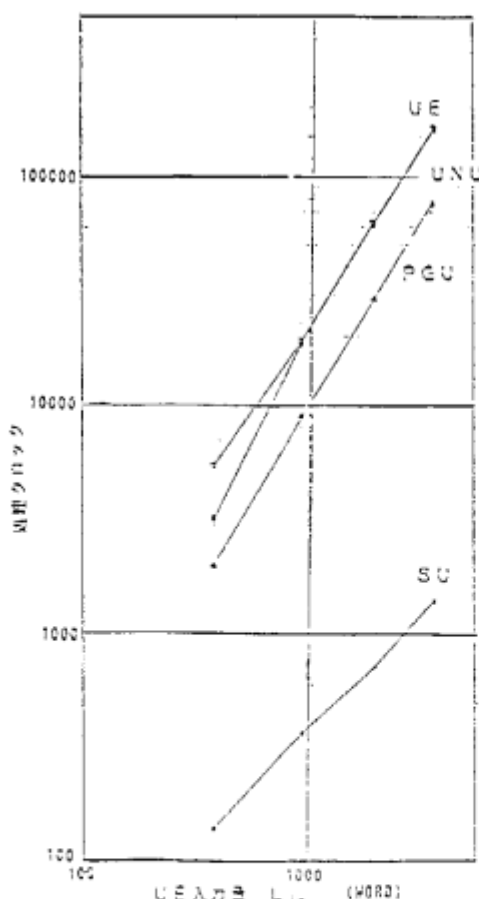
図3.3 入力量／處理クロック關係



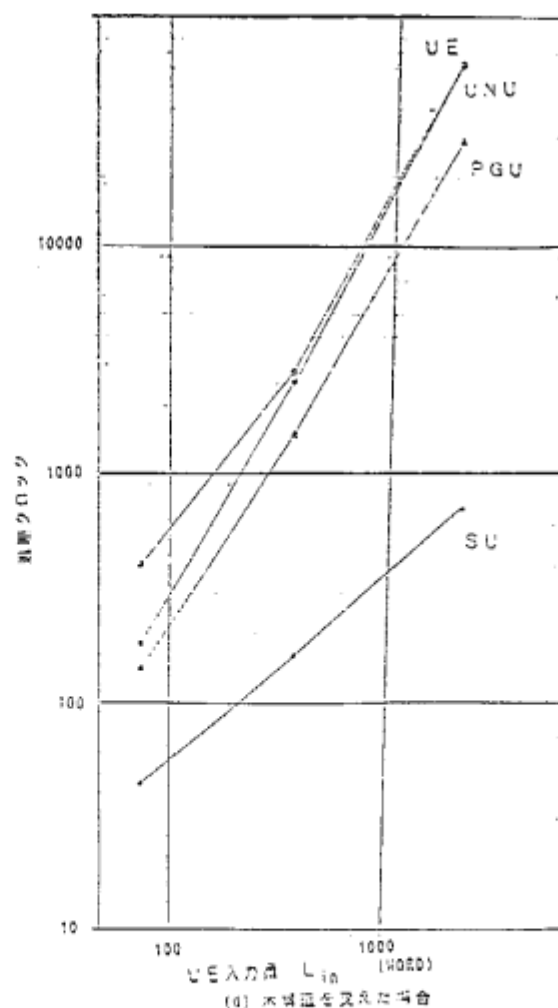
(a) 純ノードのみの蓄積子の種類数を変えた場合



(b) 中層ノードのみの蓄積子の種類数を変えた場合



(c) 純ノードのみの蓄積子の種類数を変えた場合



(d) 木構造を見えた場合

図2-4 各ノード間の通信量の比較

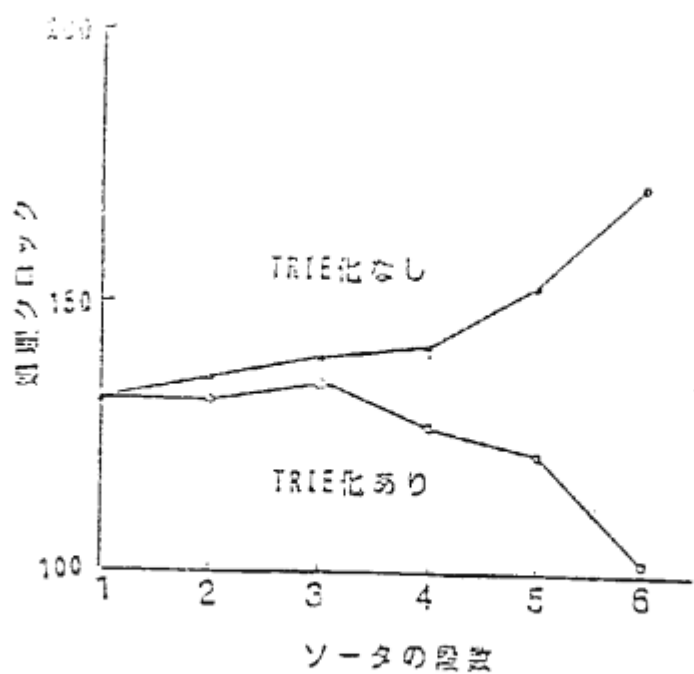


図3.5 TRIE化の効果

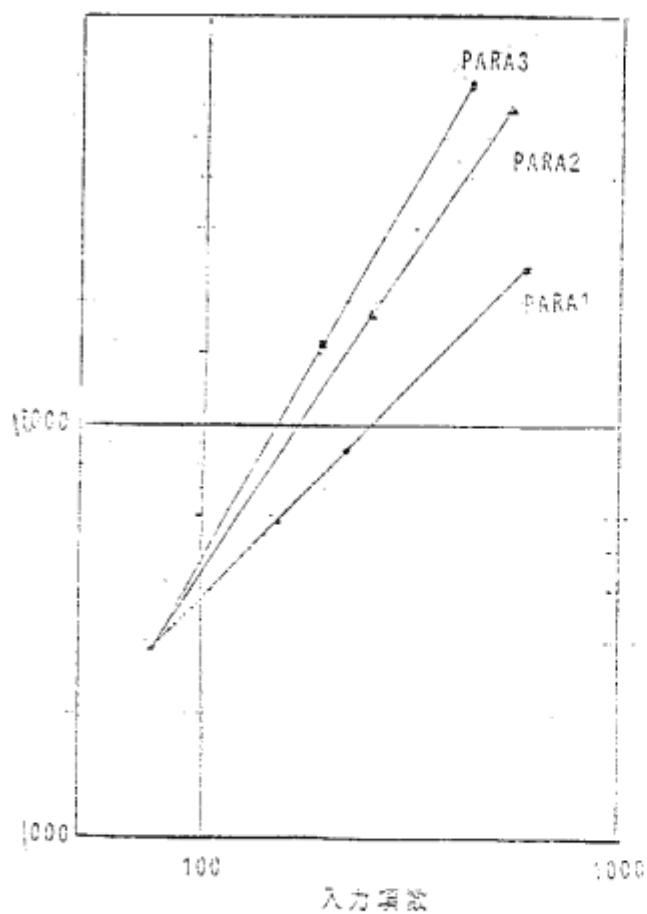


図3.6 本構造一定のPGJの入出力関係

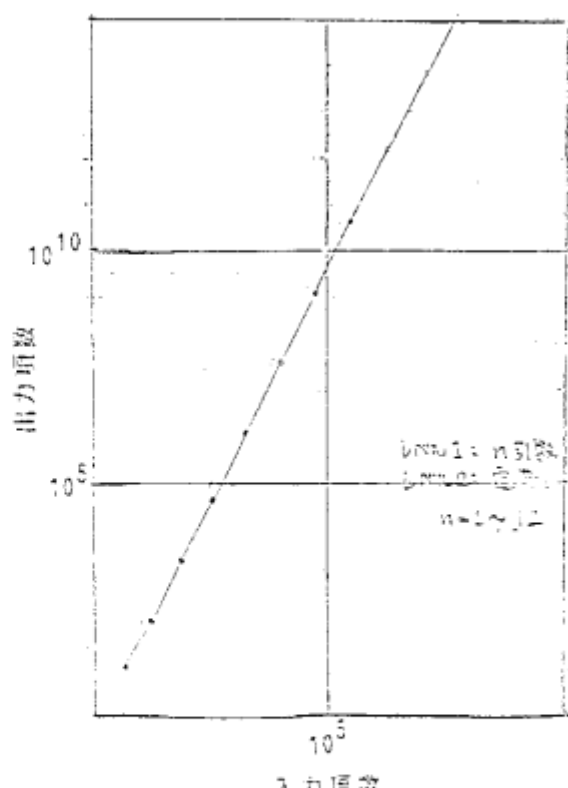


図3.7 本構造を変えたときのPGJの入出力関係

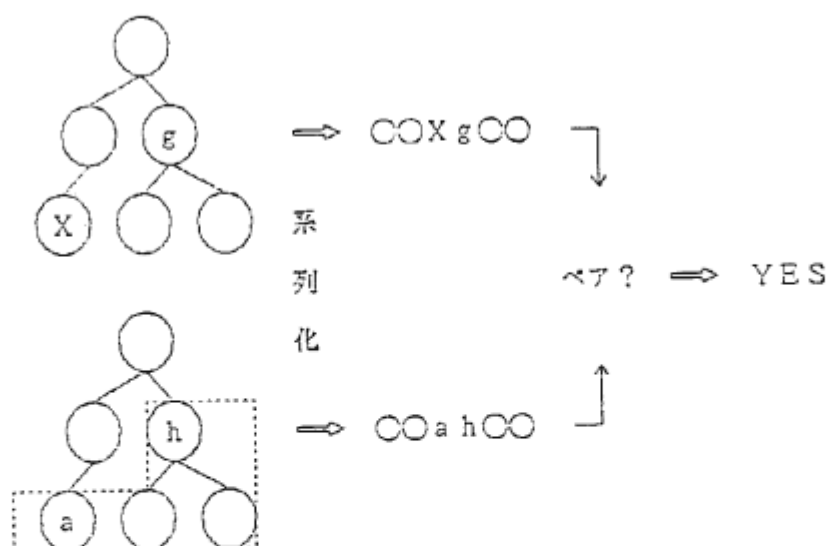


図3.8 ペア生成出力における單一化失敗項目の例

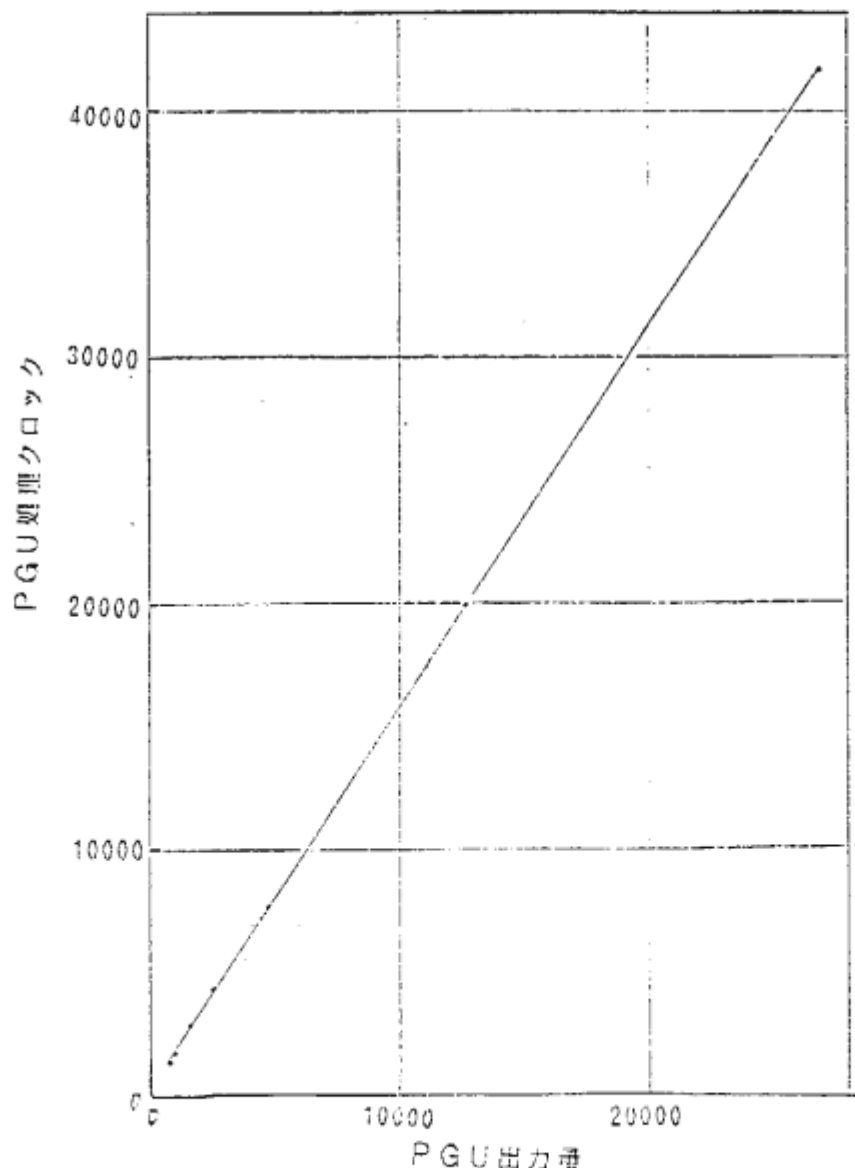


図3.9 ペア生成部処理クロック／出力量関係

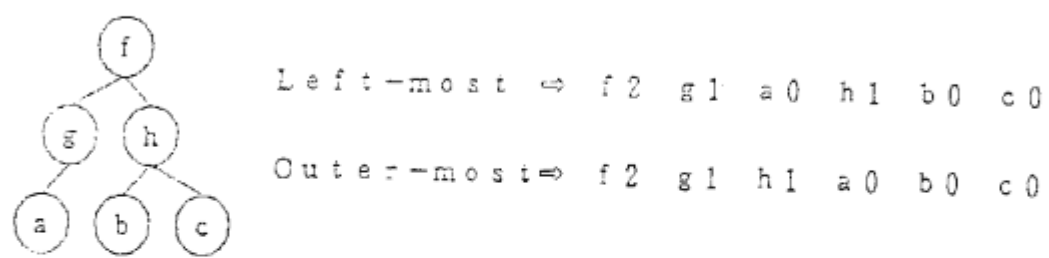


図3.10 項の木構造のストリング表現

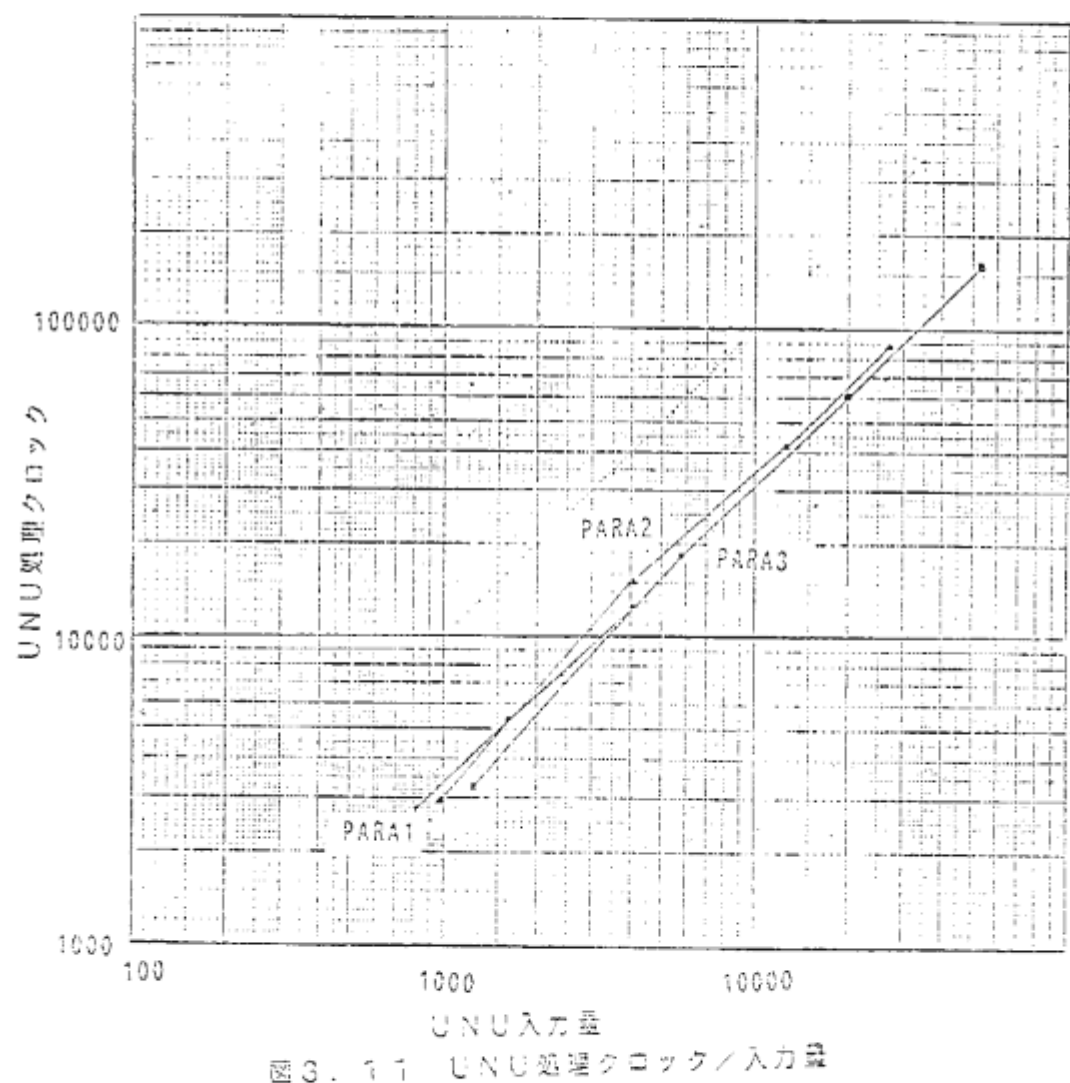


図3.11 UNI処理クロック／入力量

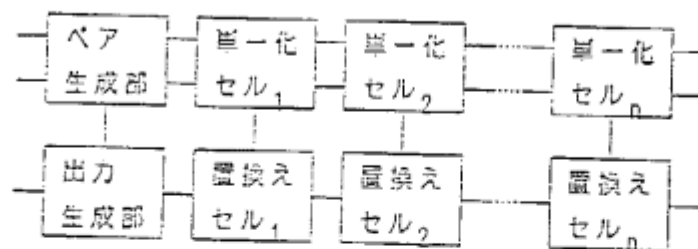


図4. 1 置換済時選用方式 (SAM)

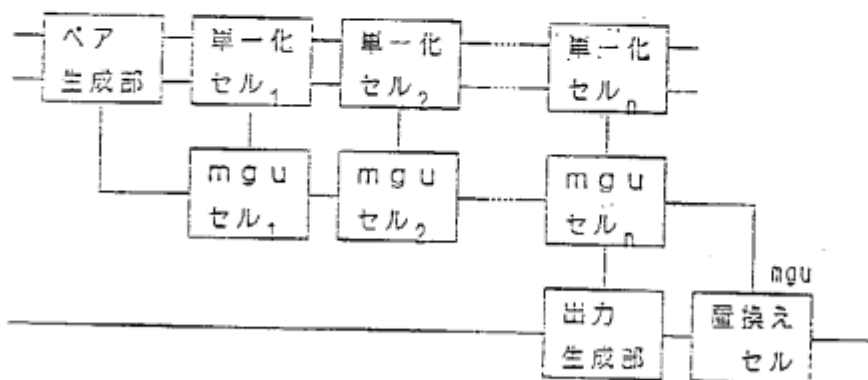


図4. 2 mgu選用方式 (MAM)

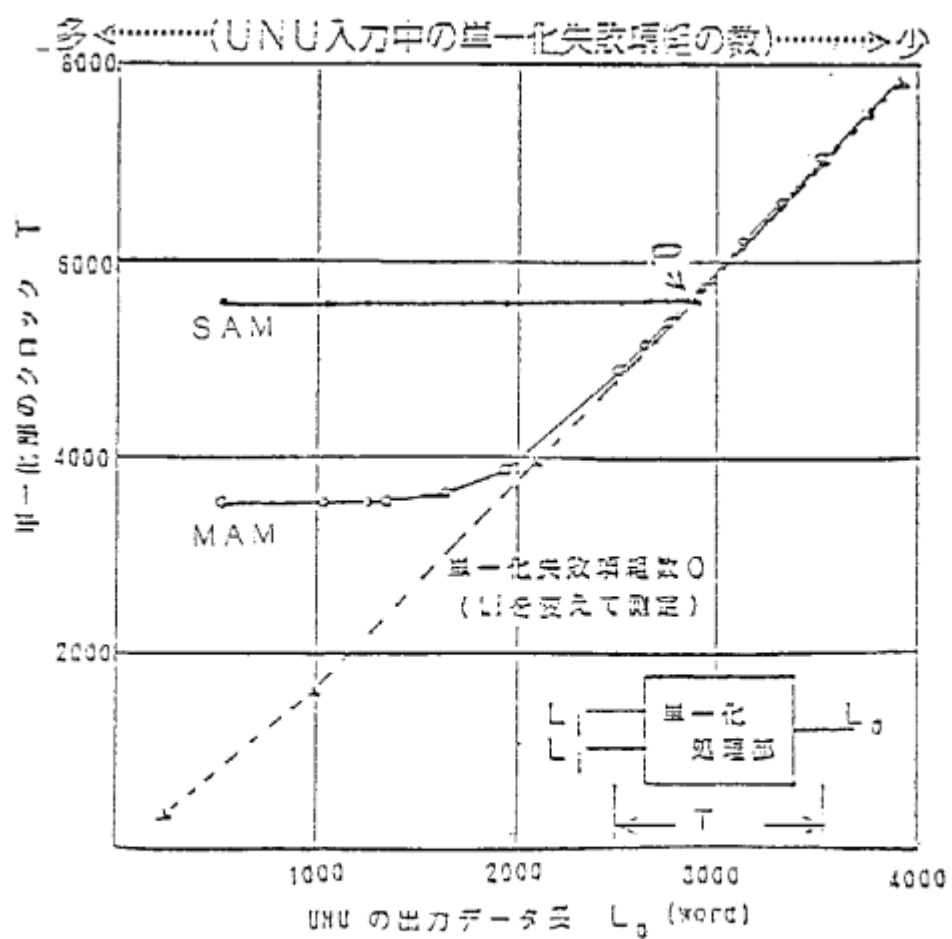
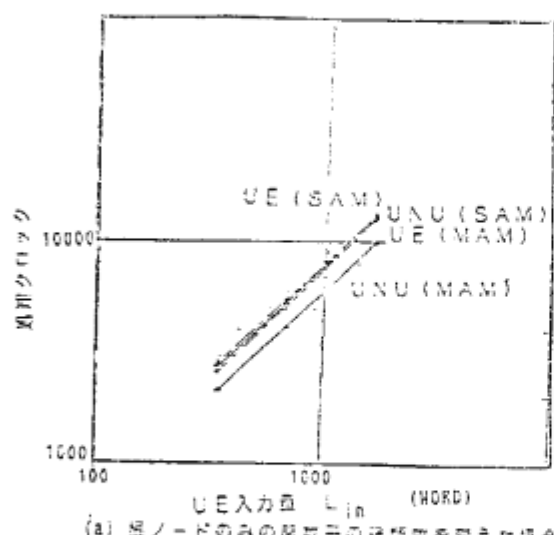
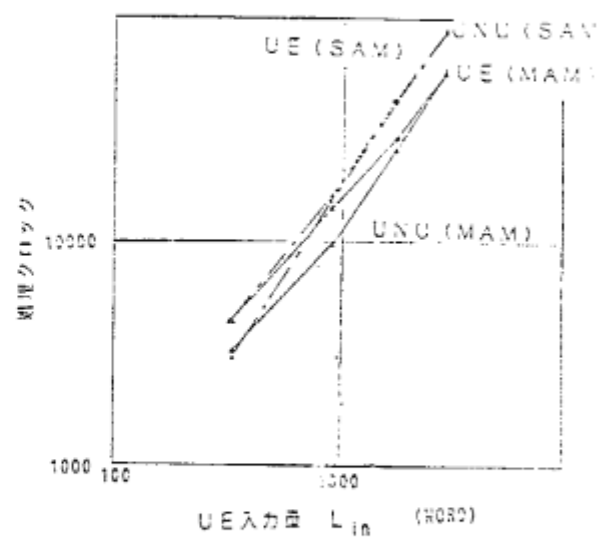


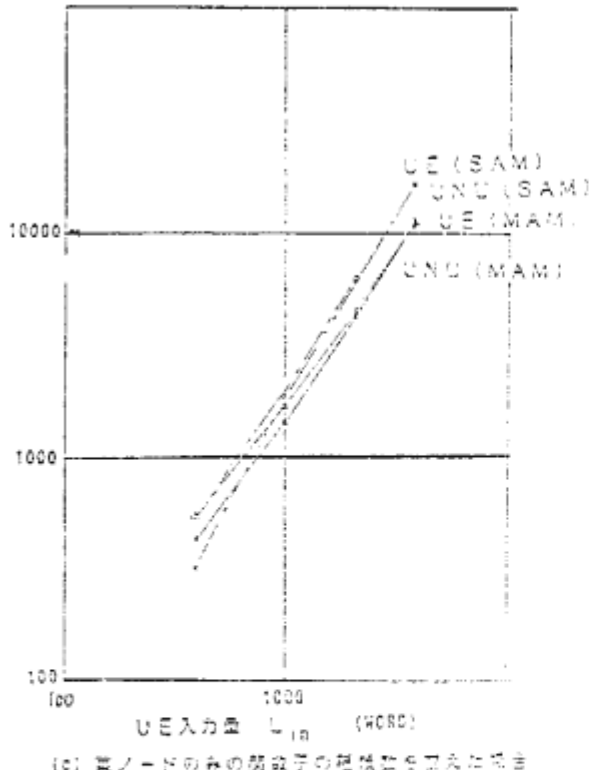
図4. 3 方式の違いによる処理の違い ($L_1 = 3265$ 一定)



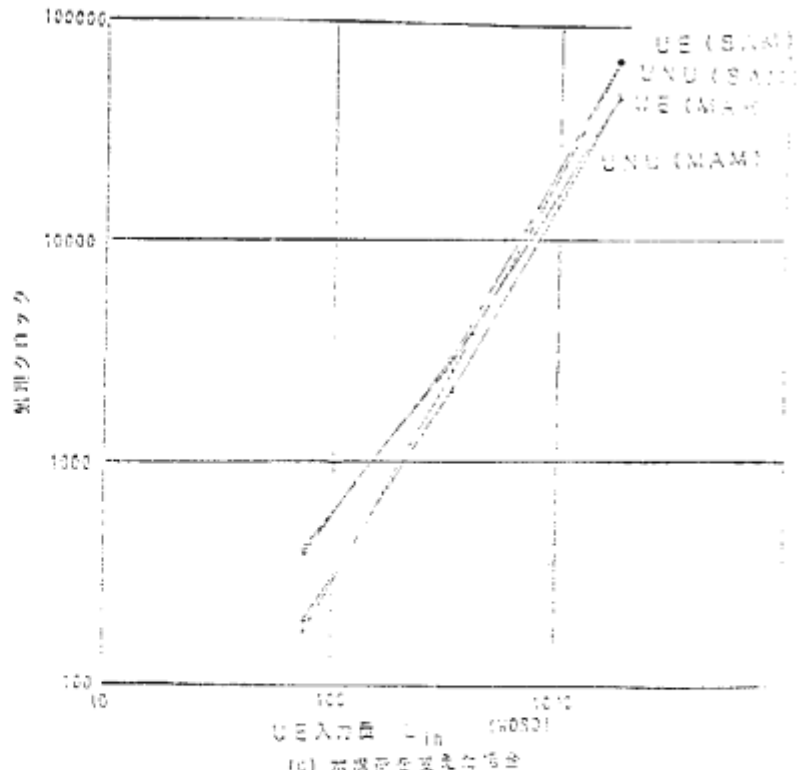
(a) 送ノードのみの節電子の種類数を変えた場合



(b) 中間ノードのみの節電子の種類数を変えた場合



(c) 送ノードのみの節電子の種類数を変えた場合



(d) 中間ノードの構成を変えた場合

図4.4 SAMとMAM

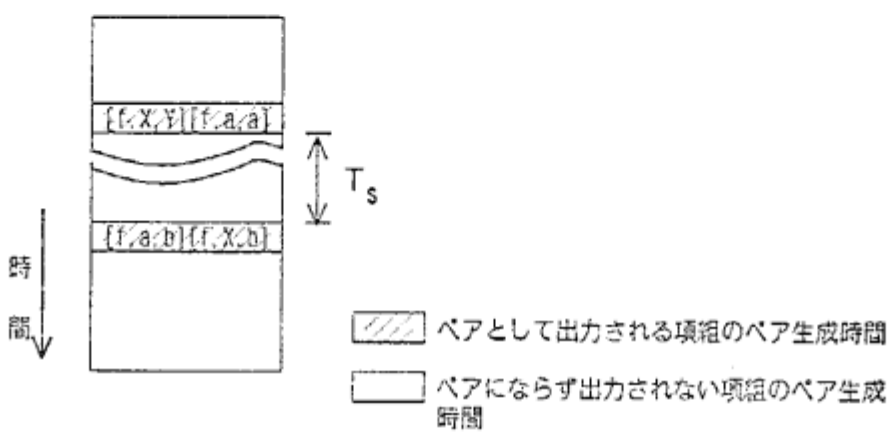


図5.1 DCKRのペア生成出力

種類数が変化するノード	関数子の種類数		
	1	2	3
根	1.08	1.08	1.08
中間	1.08	1.86	2.63
葉	1.08	1.69	2.73

(a) 不満適を一定にした場合

木構造は、深さ 2

根ノードが引数関数 1 種

葉ノードが定数 3 種と変数

n	1	2	3	4
	1.00	1.35	2.08	3.13

(b) 木構造を変化させた場合

表 3.2 構成割合能力 (1)

PGU 出力項目数 / 單一化項目数

種類数が変化するノード	割合 (%) の種類数		
	1	2	3
根	93.0	67.5	98.5
中間	93.0	84.0	86.1
葉	93.0	75.0	72.0

(a) 不満適を一定にした場合

木構造は、深さ 2

根ノードが引数関数 1 種

葉ノードが定数 3 種と変数

n	1	2	3	4
	100.0	88.6	79.4	73.2

(b) 木構造を変化させた場合

表 3.3 構成割合能力 (2)

種類数が変化するノード	箇数字の種類数		
	1	2	3
複	1.08	1.08	1.08
中間	1.08	1.30	1.53
累	1.08	1.71	2.83

表3.4 Outer-most方式の候補削減能力(1)
(木構造を一定にした場合)

$t_1=f(a_1, a_2, \dots, a_k)$ と $t_2=f(x_1, x_2, \dots, x_k)$ の單一化

K	單一化対象項数				
	パイプライン				文献3
	1:1	5:5	20:20	50:50	
1	18	9	8	6	10
2	21	12	9	8	13
10	56	37	27	26	37
25	131	76	56	-	82

単位：クロック／項組

表3.5 パイプラインの効果

	入力項数	出力項組数
編組約データ	35	311
DCKR	36	2

表5.1 JEの入出力項組数の相違

付録

```
dot(sem(cl,A),B)    dot(sem(ele,A),B)
dot(sem(ele,A),B)    dot(sem(nom,A),B)
dot(sem(jewel,A),B)  dot(sem(stone,A),B)
dot(sem(jewel,A),B)  dot(sem(accessory,A),B)
dot(sem(jewel,A),B)  dot(sem(fortune,A),B)
dot(sem(diamond,A),B) dot(sem(jewel,A),B)
dot(sem(ssophine,A),B) dot(sem(jewel,A),B)
dot(sem(ruby,A),B)   dot(sem(jewel,A),B)
dot(sem(A,sinkIn(water)),B)  dot(sem(A,density(heavy)),B)  }
dot(sem(hare,color(white)),A)  dot(sem(currentSeason,state(winter)),A)
dot(sem(hare,color(brown)),A)  dot(sem(currentSeason,state(summer)),A)
dot(sem(man,A),B)   dot(sem(human,A),B)
dot(sem(bird,hasDa(A)),B)  dot(sem(vine,hasDa(A)),B)
dot(sem(mike,A),B)   dot(sem(cat,A),B)
dot(sem(gonbe,A),B)  dot(sem(cat,A),B)
dot(sem(hideyoshi,A),B)  dot(sem(cat,A),B)
dot(sem(jobanni,A),B)  dot(sem(cat,A),B)
dot(sem(juliana,A),B)  dot(sem(cat,A),B)
dot(sem(kampanero,A),B)  dot(sem(cat,A),B)
dot(sem(zzi,A),B)   dot(sem(animal,A),B)
dot(sem(car,~),B)   dot(sem(traffic,A),B)
dot(sem(bmx,A),B)   dot(sem(bmx,A),B)
dot(sem(four0st0engine,A),B) dot(sem(engine,A),B)
dot(sem(psi,A),B)   dot(sem(computer,A),B)
dot(sem(bit0map0terminal,A),B) dot(sem(terminal,A),B)
dot(sem(comuter,hasDa(A)),B)  dot(sem(terminal,hasDa(A)),B)
dot(sem(comuter,hasDa(A)),B)  dot(sem(terminal,iDa(A)),B)
dot(sem(psi,hasDa(A)),B)  dot(sem(bit0map0terminal,hasDa(A)),B)
dot(sem(psi,hasDa(A)),B)  dot(sem(bit0map0terminal,ls0a(A)),B)
dot(sem(bit0map0terminal,hasDa(A)),B)  dot(sem(bit0map0display,hasDa(A)),B)
dot(sem(bit0map0terminal,hasDa(A)),B)  dot(sem(bit0map0display,ls0a(A)),B)
dot(sem(keyboard,A),B)   dot(sem(input0device,A),B)
dot(sem(terminal,hasDa(A)),B)  dot(sem(keyboard,hasDa(A)),B)
dot(sem(terminal,hasDa(A)),B)  dot(sem(keyboard,ls0a(A)),B)
dot(sem(keyboard,hasDa(A)),B)  dot(sem(key,honda(A)),B)
dot(sem(keyboard,hasDa(A)),B)  dot(sem(key,ls0a(A)),B)
```

```
dot(sem(sale,color(grey)),A)    A
dot(sem(mom,bt(4sm)),A)    A
dot(sem(accessory,looks(beautiful)),A)    A
dot(sem(accessory,on(ring)),A)    A
dot(sem(accessory,on(necklace)),A)    A
dot(sem(stone,density(heavy)),A)    A
dot(sem(stone,hardness(high)),A)    A
dot(sem(fortune,price(expensive)),A)    A
dot(sem(fortune,inGthe(safe)),A)    A
dot(sem(diamond,color(clear)),A)    A
dot(sem(crubee,color(red)),A)    A
dot(sem(sapphirt,color(blue)),A)    A
dot(sem(pearl,color(white)),A)    A
c  (sem(currentMoon,state(notFullmoon)),A)    A
dot(sem(wolf,face(shaggy)),A)    A
dot(sem(wolf,attacks(lady)),A)    A
dot(sem(wolf,attacks(children)),A)    A
dot(sem(human,face(notShaggy)),A)    A
dot(sem(man,attacks(lady)),A)    A
dot(sem(birds,can0fly(yes)),A)    A
dot(sem(bat,can0fly(yes)),A)    A
dot(sem(tobius,can0fly(yes)),A)    A
dot(sem(airplane,can0fly(yes)),A)    A
dot(sem(penguin,can0fly(no)),A)    A
d  (sem(bird,can0fly(yes)),A)    A
dot(sem(bird,has0a(wing)),A)    A
dot(sem(cat,likes(milk)),A)    A
dot(sem(cat,likes(fish)),A)    A
dot(sem(cat,likes(kotatsu)),A)    A
dot(sem(juliano,color(brown)),A)    A
dot(sem(gonbe,color(black)),A)    A
dot(sem(hideyoshi,color(white)),A)    A
dot(sem(jeanhi,color(striped)),A)    A
dot(sem(car,has0a(wheel)),A)    A
dot(sem(wheel,has0a(tread)),A)    A
dot(sem(car,has0a(four0st0engine)),A)    A
```

```
dot(semFourStEngine,hasDa(valve)),A) A  
dot(stnEngine,hasDa(piston)),A) A  
dot(snapPiston,hasDa(ring)),A) A  
dot(sem(A,isDa(A)),B) B  
dot(sem(computer,hasDa(terminal)),A) A  
dot(stnPsi,hasDa(bit0map0terminal)),A) A  
dot(sem(bit0map0terminal,hasDa(bit0map0display)),A) A  
dot(sem(terminal,hasDa(keyboard)),A) A  
dot(sem(keyboard,hasDa(key)),A) A
```

ゴールのリレーション



```
dot(sem(cL,A),nil) dot(sem(cLc,A),nil)
```